

III-39

圧密粘土の練返し単純せん断特性

九州大学工学部 正山内豊勝 正落合英俊 正林重徳
同 学O大坪正和 学藤崎裕司

1. まえがき

練返しせん断を受ける土の応力・変形およびせん断強度特性は、土の状態量のみならず、要素試験での供試体のひずみ拘束条件や外的条件としての応力条件ならばに練返し回数に大きく影響を受けることが従来の実験データにより明らかにされている。本論文においては、練返し単純せん断試験装置を用いて、平面ひずみ状態における圧密粘土の立方供試体に対して、ひずみ制御で練返し単純せん断試験を行ない、せん断中の供試体の変形量と各面上の応力を直接測定し、単純せん断過程における供試体の応力・ひずみ状態の変化について調べた。

2. 実験概要

用いた試料は白色粘土(半塑性オリン, $G_s=2.69$)である。供試体作成にあたっては、試料をほぼ液性限界に近い含水比で十分に練り返した後、三次元等方排水ができるよう心配した圧密装置¹を試料室にセットし、空気圧で段階的に圧密を行なった。最終圧密圧力は392 kN/m²であり、圧密時間は6時間、除荷後の膨張吸水時間も2時間とした。供試体は、初期含水比: $w_0=31\%$ 、初期干きさ比: $e_0=0.803$ である。供試体を切り去し、整形した後、せん断箱にセットし、所定の鉛直応力(σ_z)を載荷してK0圧密を行なった。鉛直応力は圧密およびせん断過程において196 kN/m²で一定に保った。供試体作成時の圧密圧力と試験時の鉛直応力の比は2で、供試体は過圧密領域にある。試験は、せん断ひずみ速度1mm/minでひずみ振幅一定の両振り単純せん断試験である。練返し回数は5回とし、上下排水条件で試験を行なった。練返しせん断ひずみは、 $\pm 0.5\%$, $\pm 1.0\%$, $\pm 1.5\%$, $\pm 2.0\%$, $\pm 3.0\%$ の5種類である。

3. 実験結果と考察

3.1 応力～ひずみ関係 図-1に単純せん断時の応力状態を示す。試験装置においては、三方角、三方角の変位は拘束されているので、鉛直ひずみ(ϵ_z)は体積ひずみ(ϵ_v)に等しくなる。図-2は練返しせん断ひずみ($\gamma/2$)が3%の試験におけるヒステリシスループと体積ひずみ(ϵ_v)を示したものである。練返し回数の増加とともに、せん断応力($\pm \tau_{ex}$)の絶対値も増加しており、供試体は硬化する。これは、せん断過程で体積ひずみ(ϵ_v)が増加して傾向があるためである。この傾向は他のせん断ひずみ振幅の試験においても同様である。

各試験において、練返し回数をパラメータとして、各練返しせん断ひずみ時せん断応力($\pm \tau_{ex}$)の絶対値の平均とせん断ひずみとの関係を示したもののが図-3である。図中には、一方角の静的試験結果も併記している。練返し回数ごとの応力～ひずみ曲線と一方角の静的試験結果を比較すると、 $N=1$ の結果は静的なものとはほぼ一致しているが、練返し回数が増加すると静的試験結果よりもせん断応力(τ_{ex})が大きくなる。実験したせん断ひずみ範囲では、練返し回数の増加とともに硬化現象を示すことがわかる。

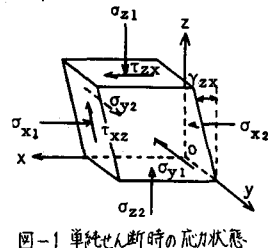


図-1 単純せん断時の応力状態

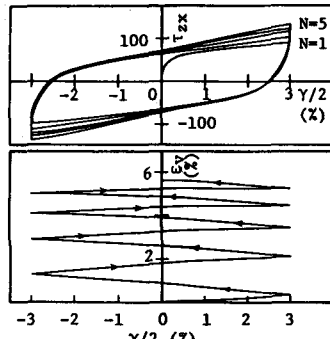


図-2 ヒステリシスループと体積ひずみ

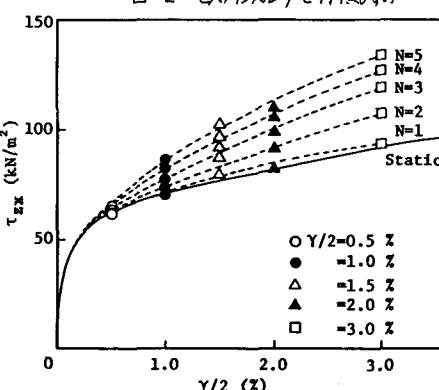


図-3 応力～ひずみ関係

3.2 体積変化特性 図-4は体積ひずみ(ε_v)と繰返し回数(N)との関係を示したものである。体積ひずみ(ε_v)は繰返し回数の増加につれて単調に増加し、繰返せん断ひずみ($\gamma/2$)の影響を受け、繰返せん断ひずみが大きいほど大きな体積ひずみを生じる。このように、一定の鉛直応力のもとで繰返せん断を受けると、過圧密の試料でも圧縮を受けるやすい。

体積ひずみ(ε_v)は、図-4に示すように繰返し回数とともに増加するので、せん断ひずみ($\gamma/2$)についても各繰返し回数ごとの値の和で表わして累積せん断ひずみ($\Sigma(\gamma/2)$)を考え、それらの関係を図-5に示す。図中には、せん断ひずみ波形を図-6に示したRandomな繰返せん断ひずみ試験結果と併記している。Random波形の試験結果を含む種々の繰返せん断ひずみ試験結果はすべて一本の曲線で表わすことができる。このことは、一定のひずみ速度で繰返し単純せん断を受ける圧密粘土の体積ひずみと累積せん断ひずみの関係が繰返しひずみ振幅の影響を受けないと示している。

3.3 側方応力の変化 図-7は繰返せん断ひずみ($\gamma/2$)が3%の試験における側方応力(σ_x, σ_y)の変化傾向を示したものである。せん断過程で σ_x は $\sigma_y + 1$ も大きく、繰返し回数2回め以後、 σ_x はほぼ正常状態にあるのに対し、 σ_y は繰返し回数の増加に伴って減少する。せん断ひずみ速度は一定であるが、側方応力の増分は一定ではなく、特に σ_x はピーコフ見られ、急激に減少する。また、 σ_x のピーコフはせん断ひずみ波形のピーコフと一致しているが、 σ_y のピーコフはせん断ひずみ波形のピーコフよりも若干遅れている。

図-8、図-9は各繰返し回数において、せん断ひずみが最大となる時の側方応力(σ_x, σ_y)と累積せん断ひずみ($\Sigma(\gamma/2)$)の関係である。図中には、一方の静的試験結果も併記している。 σ_x, σ_y はひずみも繰返しの影響を受け、累積せん断ひずみの増加に伴って、静的試験結果よりも値が小さくなる。 σ_x は繰返せん断ひずみが大きいほど値が大きく、累積せん断ひずみが増加するにつれて、各繰返せん断ひずみ試験ごとに一定値に落ちる傾向にあり、繰返せん断ひずみによる影響が顕著である。一方、 σ_y は累積せん断ひずみの増加に伴って減少し、繰返せん断ひずみによる影響もあまり見られない。

4. あとがき

体積ひずみと累積せん断ひずみの関係は繰返しひずみ振幅の影響を受けず、一本の曲線で近似できることから、今後、体積ひずみと累積せん断ひずみの関数形を表現することを考える。側方応力については、 σ_x は繰返しひずみ振幅の影響が顕著であるが、 σ_y はその影響があまり見られない、特徴的な変化傾向を示しており、さらに考察を進みたい。

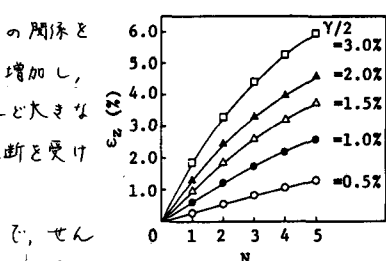


図-4 ε_v と N の関係

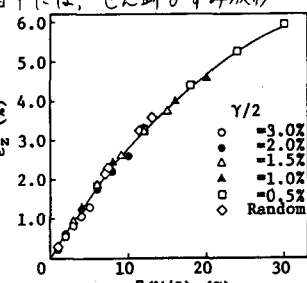


図-5 ε_v と $\Sigma(\gamma/2)$ の関係

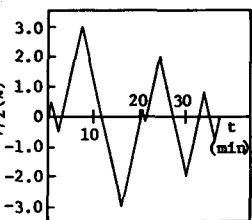


図-6 Random 波形

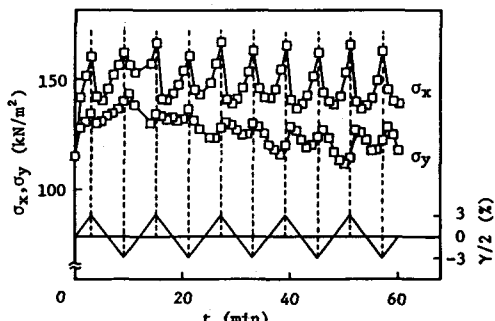


図-7 側方応力の変化

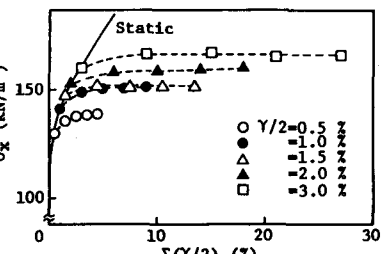


図-8 σ_x と $\Sigma(\gamma/2)$ の関係

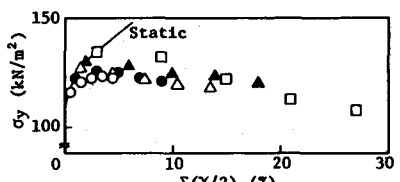


図-9 σ_y と $\Sigma(\gamma/2)$ の関係

(参考文献) Finn, W.D.L. and Bhatia, S., Endochronic theory of sand liquefaction, Proc. 7th World Conf. on Earthquake Eng., Istanbul, pp. 149-153, 1980.